



Ministério da Educação  
**UNIVERSIDADE TECNOLÓGICA FEDERAL DO  
PARANÁ**  
*Campus Curitiba*  
**Elementos de Máquinas 2**



# FREIOS E EMBREAGENS

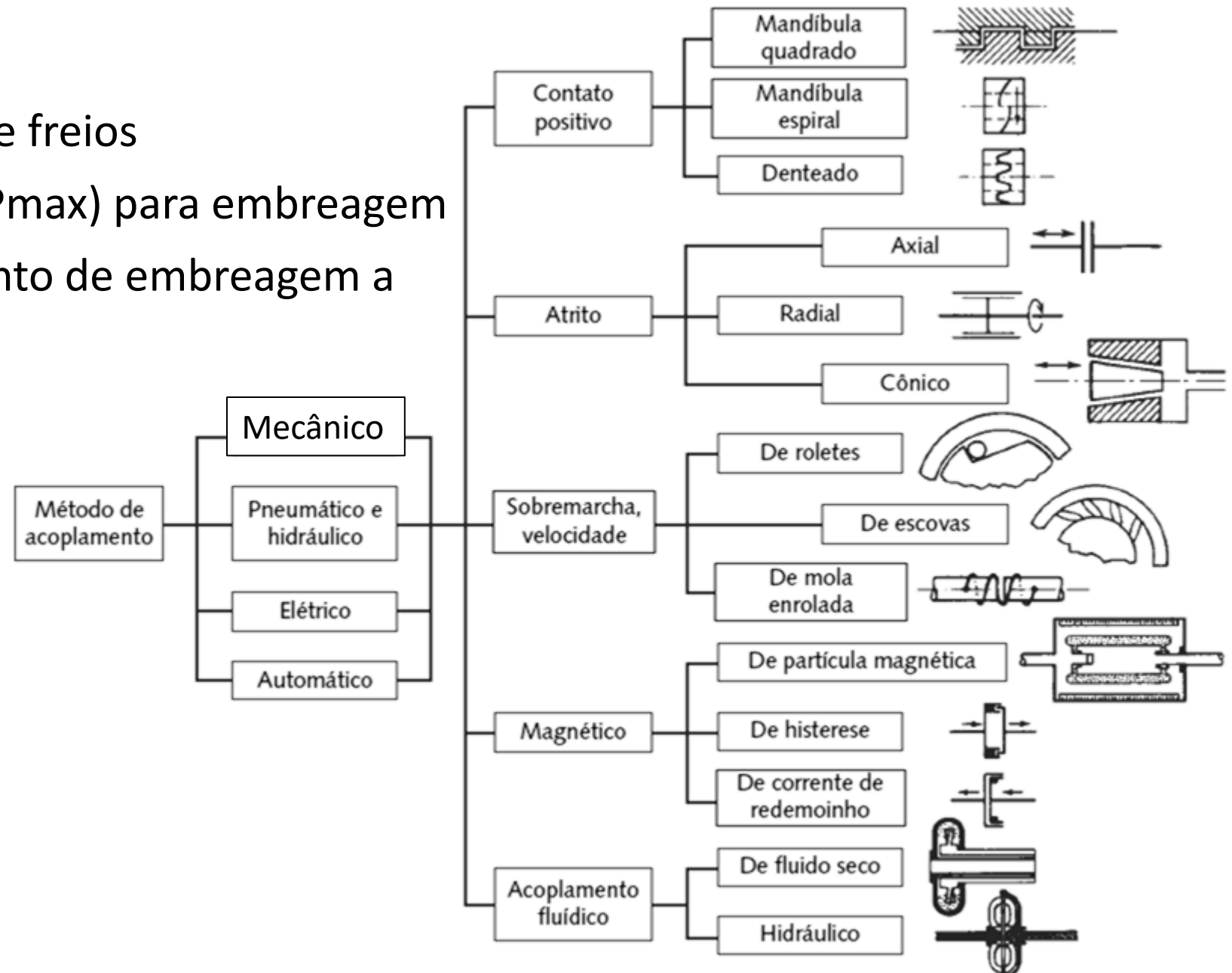
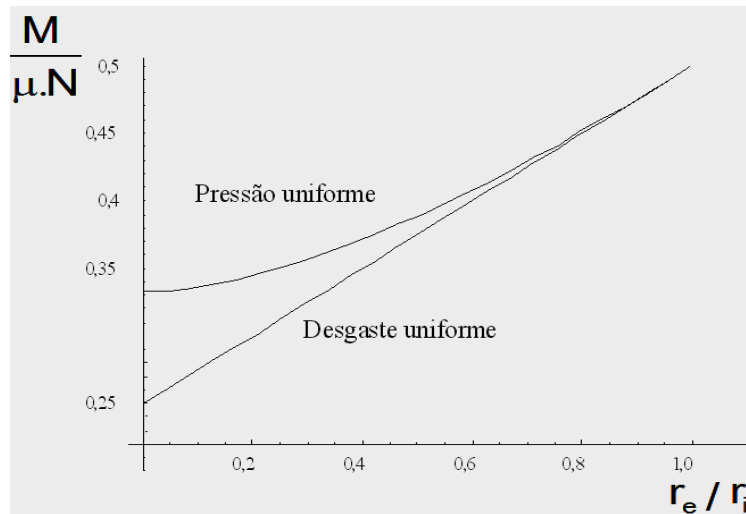
## MÓDULO 1

Prof. Marcos Takahama  
[marcostakahama@alunos.utfpr.edu.br](mailto:marcostakahama@alunos.utfpr.edu.br)

REVISÃO

# REVISÃO

- Classificação de embreagens e freios
- Materiais utilizados (Tab  $\mu$  e  $P_{max}$ ) para embreagem
- Critérios para dimensionamento de embreagem a disco:
  - Pressão Uniforme
  - Desgaste uniforme



# FREIOS E EMBREAGENS A DISCO

## Formulário:

Tabela 17-1 Propriedades de materiais comuns de forração para embreagens/freios

| Material de atrito contra aço ou CI | Coeficiente de atrito dinâmico |           | Pressão máxima |           | Temperatura máxima |         |
|-------------------------------------|--------------------------------|-----------|----------------|-----------|--------------------|---------|
|                                     | Seco                           | Em óleo   | psi            | kPa       | °F                 | °C      |
| Moldado                             | 0,25–0,45                      | 0,06–0,09 | 150–300        | 1030–2070 | 400–500            | 204–260 |
| Tecido                              | 0,25–0,45                      | 0,08–0,10 | 50–100         | 345–690   | 400–500            | 204–260 |
| Metal sinterizado                   | 0,15–0,45                      | 0,05–0,08 | 150–300        | 1030–2070 | 450–1250           | 232–677 |
| Ferro fundido ou aço endurecido     | 0,15–0,25                      | 0,03–0,06 | 100–250        | 690–720   | 500                | 260     |

*Pressão uniforme x Desgaste uniforme*

$p = cte$  - Pressão

$F_n = p \cdot (\alpha_2 - \alpha_1) \cdot \frac{(r_e^2 - r_i^2)}{2}$  - Força Axial

$F_f = \mu \cdot p \cdot (\alpha_2 - \alpha_1) \cdot \frac{(r_e^2 - r_i^2)}{2}$  - Força de atrito (tangencial)

$M = z \cdot \mu \cdot p \cdot (\alpha_2 - \alpha_1) \cdot \frac{(r_e^3 - r_i^3)}{3}$  - Torque

$M = z \cdot N \cdot \mu \cdot \frac{2}{3} \cdot \frac{(r_e^3 - r_i^3)}{(r_e^2 - r_i^2)}$  - Torque

$p(r) = p_{m\acute{a}x} \cdot \left(\frac{r_i}{r}\right)$

$F_n = p_{m\acute{a}x} \cdot r_i \cdot (\alpha_2 - \alpha_1) \cdot (r_e - r_i)$

$F_f = \mu \cdot p_{m\acute{a}x} \cdot (\alpha_2 - \alpha_1) \cdot r_i \cdot (r_e - r_i)$

$M = z \cdot N \cdot \mu \cdot (r_e + r_i)$

$M = z \cdot \mu \cdot p_{m\acute{a}x} \cdot (\alpha_2 - \alpha_1) \cdot r_i \cdot \frac{(r_e^2 - r_i^2)}{2}$

$r_i = \sqrt{\frac{1}{3}} r_e = 0,577 \cdot r_e$

- Pressão

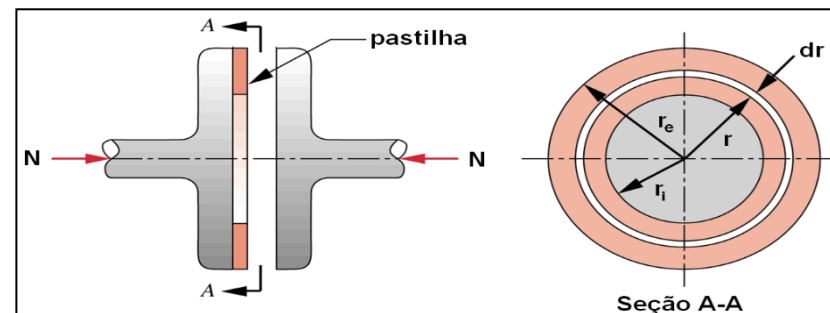
- Força Axial

- Força de atrito (tangencial)

- Torque

- Torque

- Relação de raios  
(Máximo Torque)



$$P \cdot K = T \cdot \omega$$

$P$  - Potência

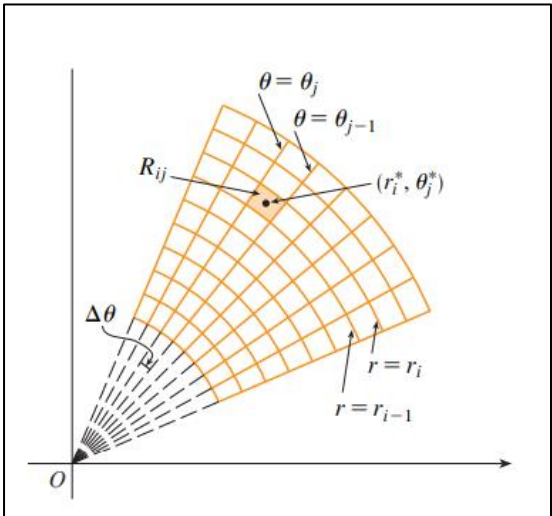
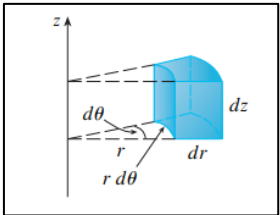
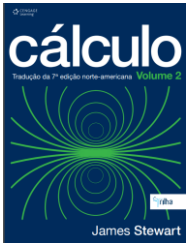
$K$  - Fator de Serviço

$T$  - Torque ou Momento

$\omega$  - Velocidade angular

# APENDICE

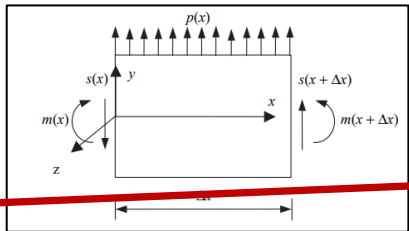
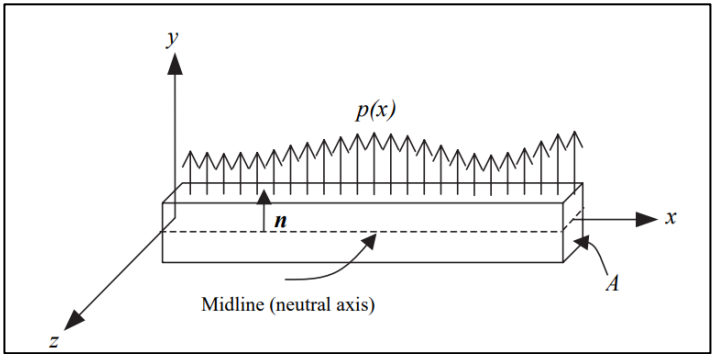
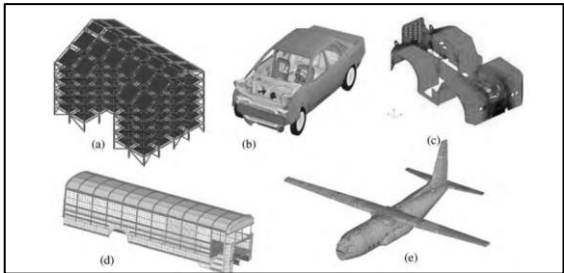
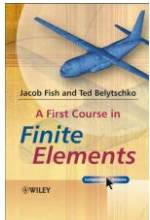
## Somatório de uma propriedade em Coordenadas cilíndricas



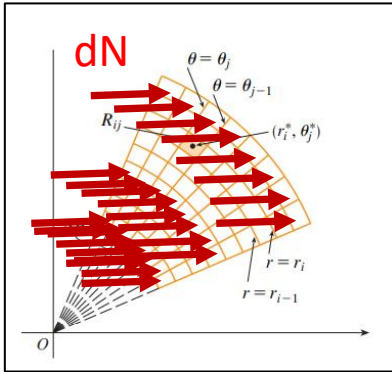
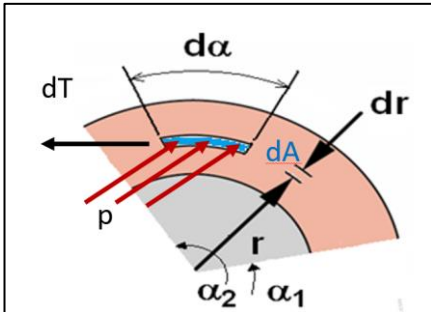
**2 Mudança para Coordenadas Polares em uma Integral Dupla** Se  $f$  é contínua no retângulo polar  $R$  dado por  $0 \leq a \leq r \leq b$ ,  $\alpha \leq \theta \leq \beta$ , onde  $0 \leq \beta - \alpha \leq 2\pi$ , então

$$\iint_R f(x, y) \, dA = \int_{\alpha}^{\beta} \int_a^b f(r \cos \theta, r \sin \theta) \, r \, dr \, d\theta$$

## Distribuição de uma propriedade em uma superfície



## Aplicação



Lembrar que pressão é  $P = F/A$

$$dN = p(r) \cdot dA - \text{Força infinitesimal}$$

$$\int dN = \int p(r) \cdot dA - \text{Somatório das Forças infinitesimais}$$

$$N = \int p(r) \cdot dA - \text{Força equivalente}$$

INÉRCIA DE CARGA

# ENERGIA DE FRENAGEM

---

- 1ª Lei de Newton - Um corpo em repouso tende a permanecer em repouso, e um corpo em movimento tende a permanecer em movimento
  - Logo, o corpo só altera seu estado de inércia se uma força resultante diferente de zero for aplicada ao mesmo.
  - Em movimentos de rotação, uma aceleração ou desaceleração ocorre por meio da aplicação de um torque
  - Isso resulta em uma alteração na energia cinemática do sistema.
- Os parâmetros envolvidos no caso de freios e embreagens são:
  - Torque
  - Tempo para se obter a variação de velocidade desejada
  - Número de ciclos que ocorrem neste tempo
  - Inércia dos corpos em rotação / translação
  - Capacidade de dissipação de energia do freio/embreagem

# ENERGIA DE FRENAGEM

---

- Posição de um freio
  - Da equação da potência ( $P=T\cdot\omega$ ), verificamos que o torque é inversamente proporcional a velocidade, logo se o freio ou a embreagem forem colocados no eixo de maior velocidade, o torque requerido de frenagem será o menor.
  - Custo, tempo de ação, tamanho são tipicamente menores quando o torque requerido é menor.
  - Desvantagem é maior com grande variação de rotação  $\Delta\omega$ , logo maior desgaste, problemas de aquecimento por atrito.
  - Em movimentos de rotação, uma aceleração ou desaceleração ocorre por meio da aplicação de um torque
  - Isso resulta em uma alteração na energia cinemática do sistema.



# INÉRCIA DE CARGA

De acordo com a 2ª Lei de Newton, temos

$$T = I_m \cdot \alpha$$

$T$  = Torque [N.m]

$I_m$  = Momento de inércia de massa [Kg.m<sup>2</sup>]

$\alpha$  = (Des)aceleração angular [rad/s<sup>2</sup>]

A (des)aceleração angular, é associada ao tempo necessário,  $t$ , para uma alteração na velocidade de rotação  $\Delta\omega$ . E o momento de inércia de massa dos componentes sendo (des)acelerados,  $I_m$ , é usualmente expresso em termos do seu raio de giração  $K$ .

$$I_m = m k^2$$

$$\alpha = \frac{\Delta\omega}{t}$$

$$k = \sqrt{\frac{I_m}{m}} \text{ ou } k^2 = \frac{I_m}{m}$$

$$T = I_m \alpha = m k^2 \frac{\Delta\omega}{t}$$

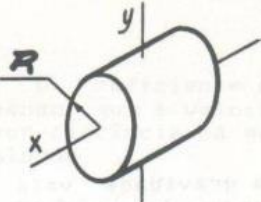


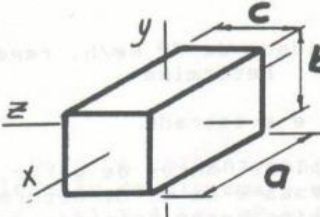

$k$  = raio de giração [m]

$\omega$  = velocidade angular [rad/s]

$m$  = massa [Kg]

$g$  = gravidade [kg/s<sup>2</sup>]

$I_m$  = Inércia de carga [N.m<sup>2</sup>]

|   |  |
|---|--|
|    | <p><i>Cilindro maciço</i></p> $I_x = \frac{m \cdot R^2}{2}$ $I_y = \frac{m}{12} (3R^2 + L^2)$                                      |
|    | <p><i>Cilindro ôco</i></p> $I_x = \frac{m}{2} (R^2 + r^2)$   |
|    | <p><i>Esfera</i></p> $I = \frac{2}{5} m \cdot R^2$   |
|   | <p><i>Prisma Retangular</i></p> $I_x = \frac{m}{12} (b^2 + c^2)$ $I_y = \frac{m}{12} (c^2 + a^2)$ $I_z = \frac{m}{12} (a^2 + b^2)$ |
|  | <p><i>Disco fino</i></p> $I_x = \frac{m R^2}{2}$ $I_y = I_z = \frac{m \cdot R^2}{4}$   |

# INÉRCIA DE CARGA

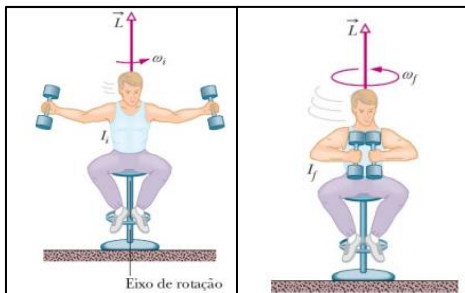
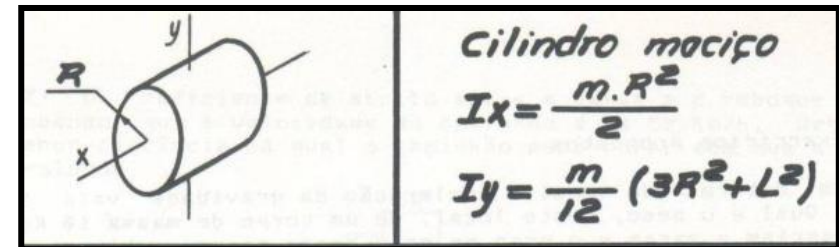
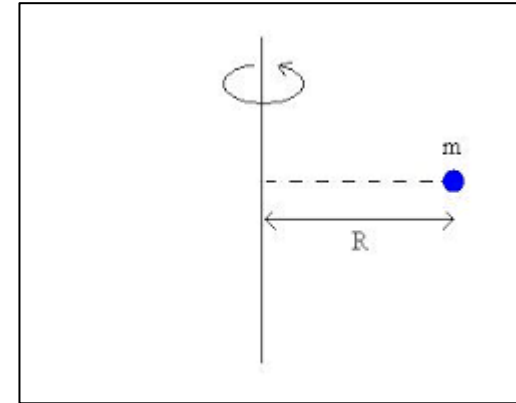
Raio equivalente (exemplo cilindro maciço):

$$T = I_m \cdot \alpha$$

$$I_m = mk^2 - (\text{Definição})$$

$$k = \sqrt{\frac{I_m}{m}} \text{ ou } k^2 = \frac{I_m}{m} - \text{Raio equivalente}$$

$$k^2 = \frac{\frac{m \cdot R^2}{2}}{m} = \frac{R^2}{2} - (\text{Cilindro maciço em torno do eixo axissimétrico})$$



Neste experimento o que se conserva?  
O que varia?

# EXERCÍCIO 1

Aplicando estas equações para uma bucha de aço (engrenagem), determine a inércia de carga e o torque de frenagem

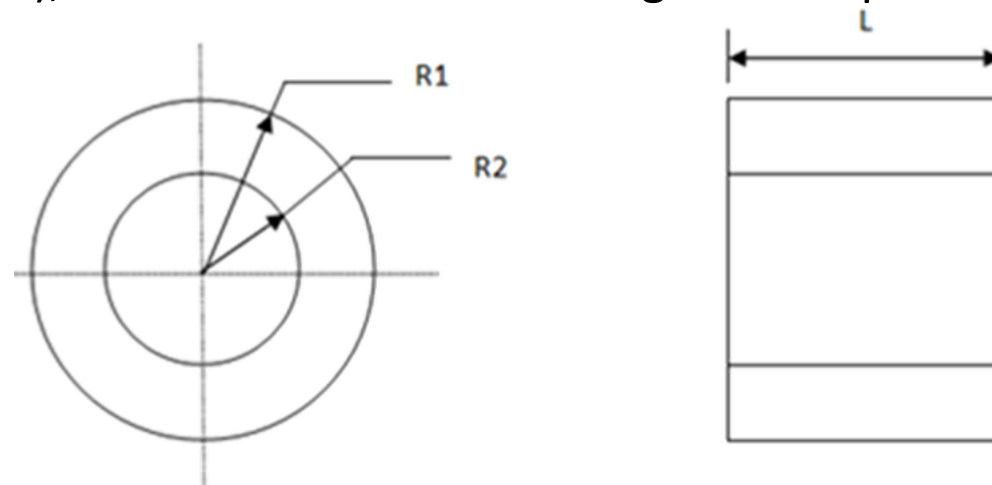
Torque de frenagem →

Raio de giração →

Volume da bucha →

Massa da bucha →

Inércia de carga →



$$\begin{aligned} R_1 &= 100\text{mm} & \rho &= 7850\text{Kg/m}^3 \\ R_2 &= 25\text{mm} & \omega &= 2500\text{rpm} \\ L &= 50\text{mm} & t &= 5\text{s} \end{aligned}$$

# EXERCÍCIO 1

Aplicando estas equações para uma bucha de aço (engrenagem), determine a inércia de carga e o torque de frenagem

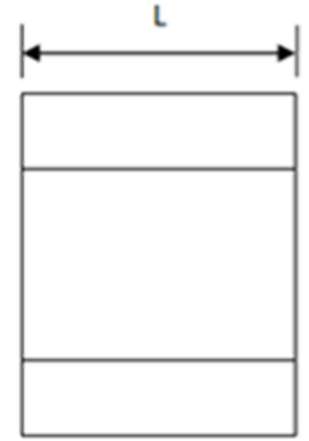
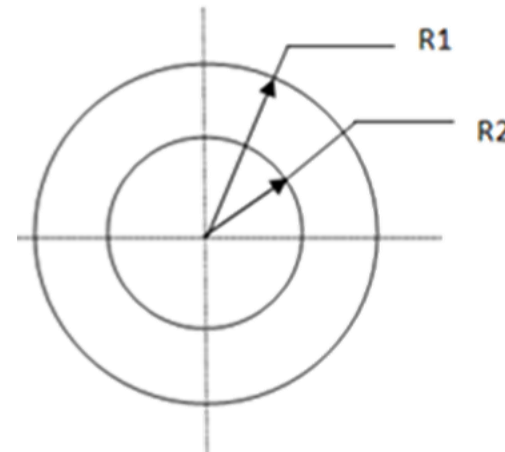
$$\text{Torque de frenagem} \rightarrow T = I_m \alpha = m k^2 \frac{\Delta \omega}{t}$$

$$\text{Raio de giração} \rightarrow k^2 = \frac{I_m}{m} = \frac{1}{2} (R_1^2 + R_2^2)$$

$$\text{Volume da bucha} \rightarrow V = \pi (R_1^2 - R_2^2) L$$

$$\text{Massa da bucha} \rightarrow m = \rho V$$

$$\begin{aligned} \text{Inércia de carga} \rightarrow I_m &= m k^2 = \rho V k^2 = \rho \pi (R_1^2 - R_2^2) L \cdot \frac{1}{2} (R_1^2 + R_2^2) \\ I_m &= \frac{\rho \pi L}{2} (R_1^4 - R_2^4) \end{aligned}$$



$$\begin{aligned} R_1 &= 100\text{mm} & \rho &= 7850\text{Kg/m}^3 \\ R_2 &= 25\text{mm} & \omega &= 2500\text{rpm} \\ L &= 50\text{mm} & t &= 5\text{s} \end{aligned}$$

# INÉRCIA DE CARGA

Em muitos sistemas mecânicos há elementos girantes acoplados a eixos, operado em velocidades diferentes. Desta forma, a inércia de carga equivalente do sistema em relação ao eixo em que estiver acoplado o freio/embreagem é dado por:

Para elementos em movimento de rotação (conservação de potencia)

$$mK_e^2 = mK^2 \left( \frac{n}{n_c} \right)^2$$

$n$  = rotação do eixo considerado

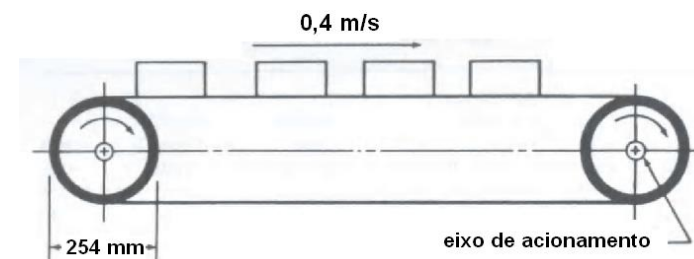
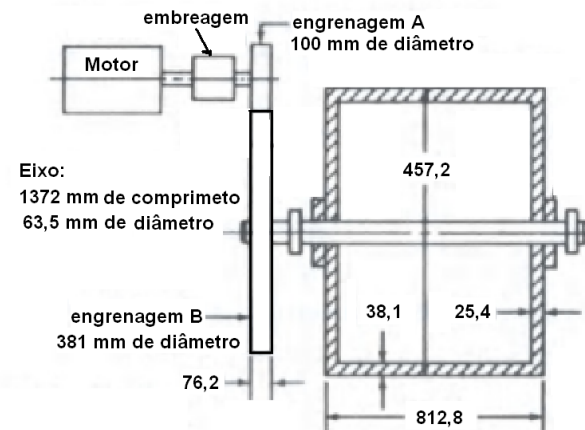
$n_c$  = rotação do eixo da embreagem ou freio

Para elementos em movimento de translação

$$mK_e^2 = m \left( \frac{V}{2\pi \cdot f_m} \right)^2$$

$V$  = velocidade linear do corpo

$f_m$  = frequência de rotação do eixo [Hz]



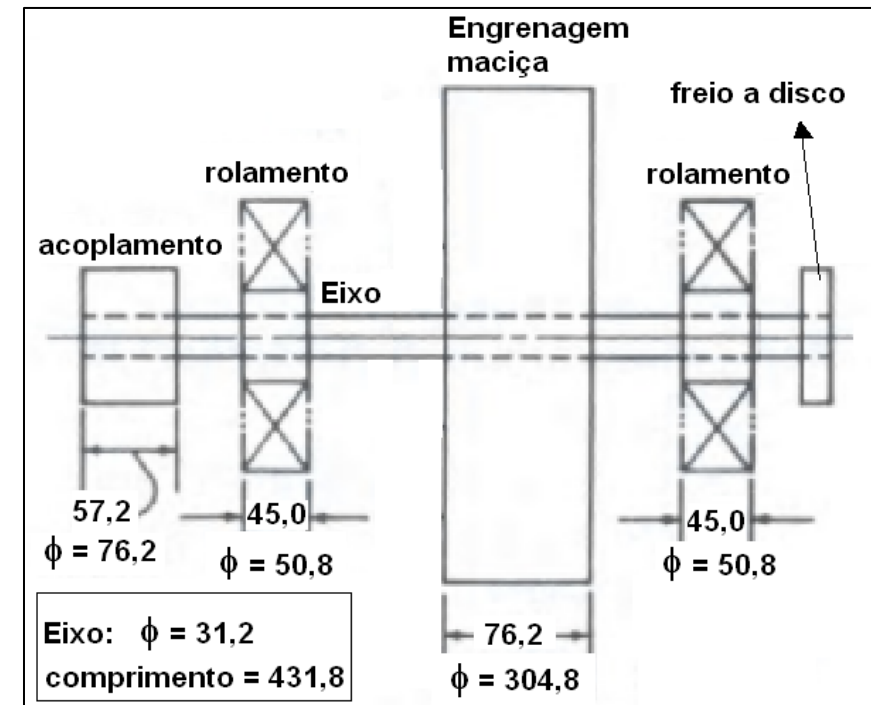
# EXERCÍCIOS

# EXERCÍCIO 2

O dispositivo da figura abaixo deve ser freado de 1000 rpm até zero em dois segundos. Determine a pressão atuante durante a frenagem e a potência dissipada em cada pastilha do freio a disco (pressão uniforme), admitindo que o motor elétrico acoplado ao eixo de entrada não desliga durante o processo de frenagem.

## Dados:

- Todos os elementos são de aço carbono;
- Todas as dimensões em mm;
- Somente o anel interno dos rolamentos gira;
- 3 jogos de pastilhas de metal sinterizado;
- Admitir que o contato é a seco;
- Rotação do eixo: 1000 rpm
- Raio interno da pastilha = 50 mm
- Raio externo da pastilha = 95 mm
- Ângulo de abertura das pastilhas =  $60^\circ$
- Raio do disco de freio = 100 mm
- Espessura do disco de freio = 5 mm
- O momento torçor no eixo da engrenagem maciça é de 60 N.m
- A inércia do **restante** do equipamento (o qual gira a 200 rpm) é de 2,04 Kg.m<sup>2</sup>

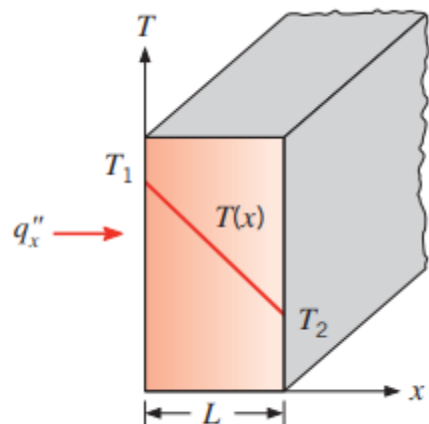


# Dissipação de energia (Análise)



# DISSIPACÃO DE ENERGIA (ANÁLISE)

De acordo com a Lei de Fourier (condução de calor):



$$q'' = \frac{-k(T_1 - T_2)}{L}$$

$$q'' \cdot A = \frac{-kA(T_1 - T_2)}{L}$$

$$q = \frac{-kA(T_1 - T_2)}{L}$$

$q''$  = Fluxo de calor (W/m<sup>2</sup>)

$q$  = Taxa de calor (W)

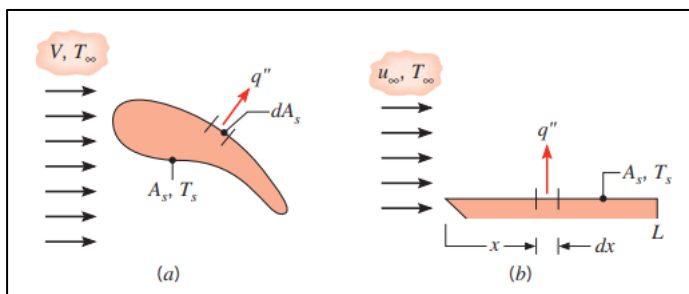
$k$  = Condutividade Térmica (W/m.K)

$T$  = Temperatura (K)

$A$  = área da secção transversal (m<sup>2</sup>)

$L$  = comprimento da secção (m)

De acordo com a Lei de resfriamento de Newton (convecção):



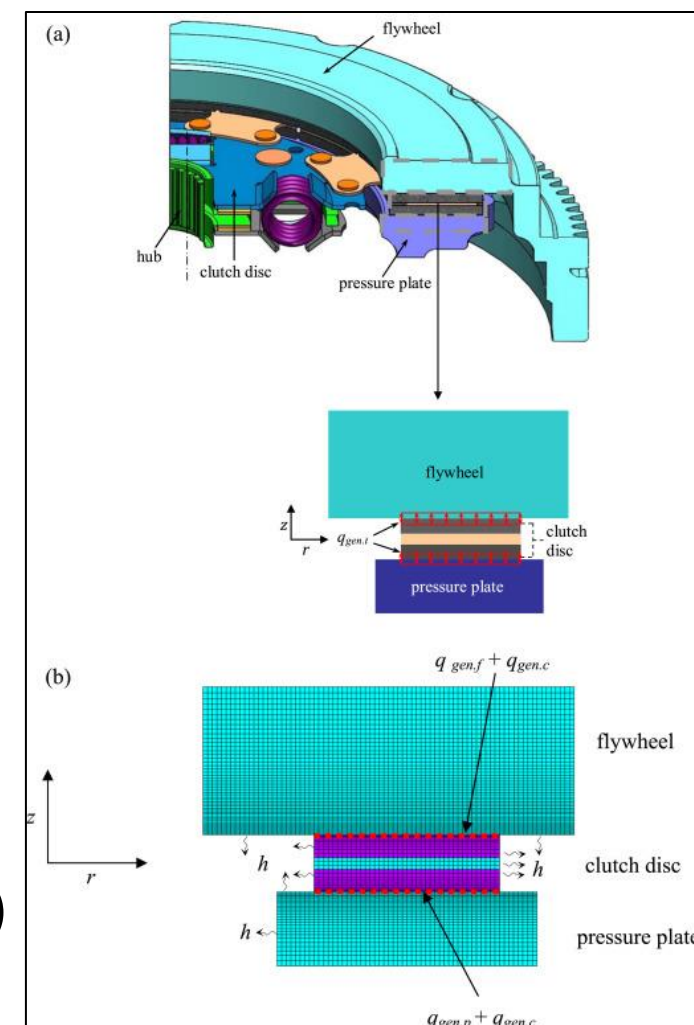
$$q = \bar{h}A(T_s - T_\infty)$$

$q$  = Taxa de calor (W)

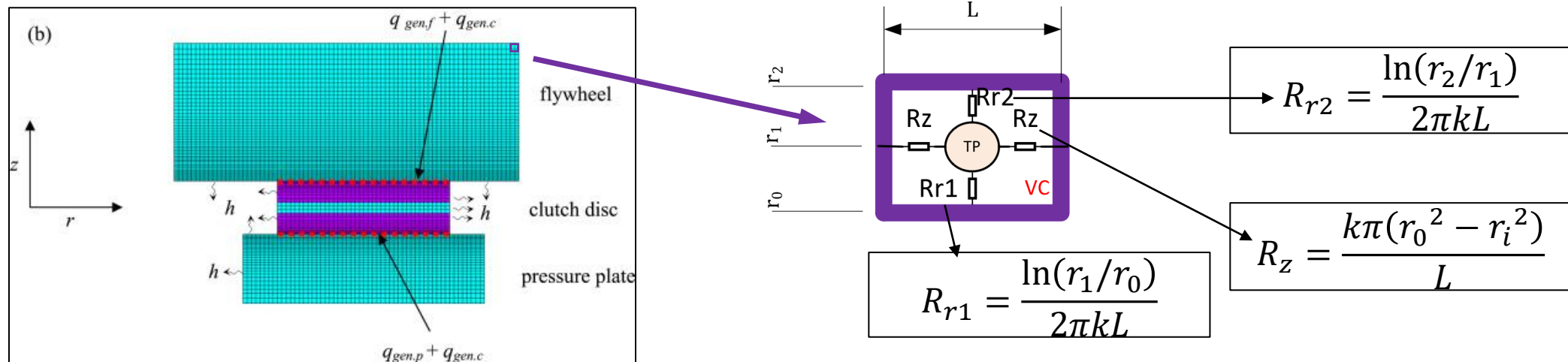
$\bar{h}$  = Coeficiente de convecção (W/m<sup>2</sup>.K)

$T_s$  = Temperatura da superfície (K)

$T_\infty$  = Temperatura ambiente (K)



# DISSIPAÇÃO DE ENERGIA (ANÁLISE)



Taxa de variação de Energia em qualquer Volume de controle (VC)

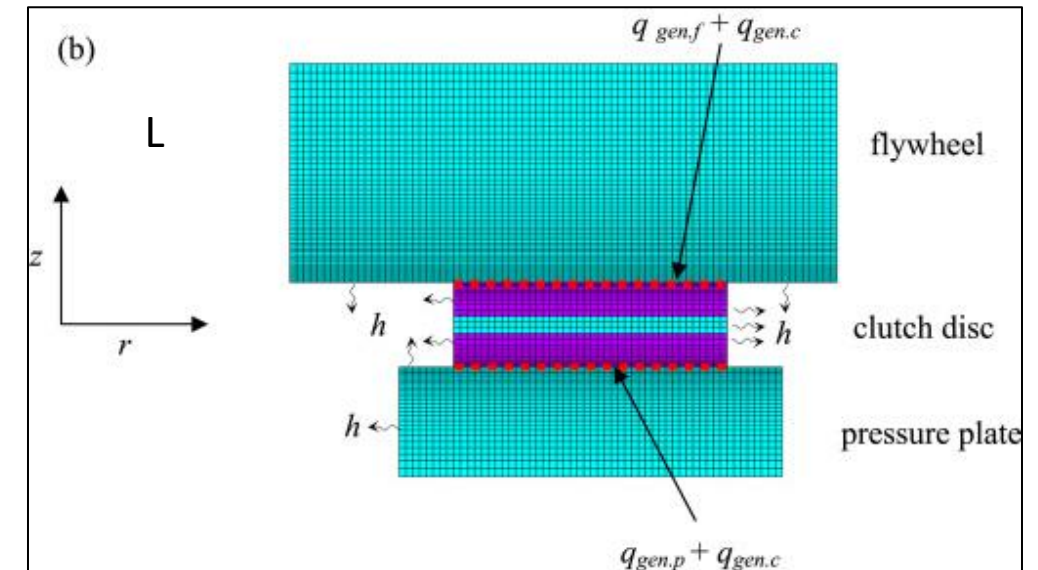
*Variação de energia pelo tempo = Energia gerada + Energia entra – Energia sai*

$$\frac{\partial E}{\partial t} = \dot{E}_g + \dot{E}_e - \dot{E}_s$$

$$\frac{\partial E}{\partial t} = \dot{Q} + [q_{condução} + q_{convecção}]_e - [q_{condução} + q_{convecção}]_s$$

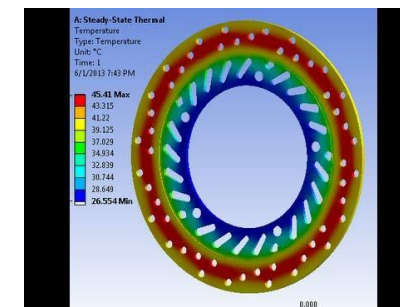
# DISSIPACÃO DE ENERGIA (ANÁLISE)

- O disco com uma espessura pequena possui uma menor resistência a esforços;
- Se o comprimento do L é significativo então a condução de calor para o disco e armazenamento de energia devem ser consideradas. Pode ser tratado como um problema 2D (em coordenadas cilíndricas ou 3D em coordenadas retangulares);
- Ferramentas numéricas podem ser utilizadas para resolver o problema da montagem de equações de maneira simultânea como: Volumes Finitos, Diferenças Finitas ou Elementos finitos;
- Aumentar a área de troca de calor, condutividade e convecção, tanto do disco quanto do contato reduz a temperatura de maneira não linear.



$$q = \bar{h}A(T_s - T_\infty)$$

Aumento da taxa de calor com aumento da área de superfície



# FREIOS TIPO TAMBOR

# FREIOS TIPO TAMBOR

## FREIOS DE TAMBOR

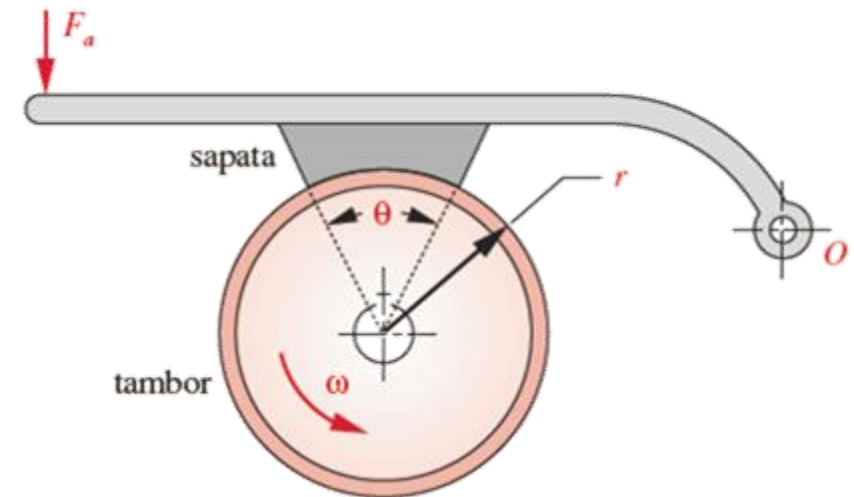
Freios (ou embreagens) de tambor forçam o material de atrito sobre a circunferência de um cilindro, seja externamente, internamente ou em ambas as faces.

Esses dispositivos são mais frequentemente utilizados como freios que como embreagens.

A parte à qual o material de atrito é rebitado ou colado com adesivo é chamada de **sapata de freio**.

A parte contra a qual atrita é chamada de **tambor de freio**.

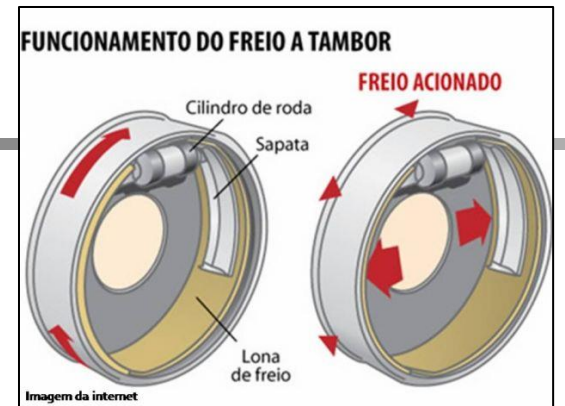
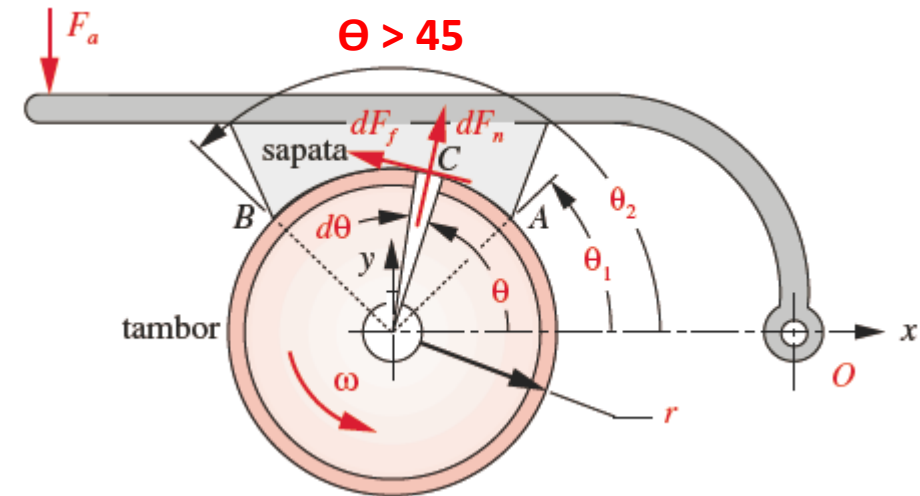
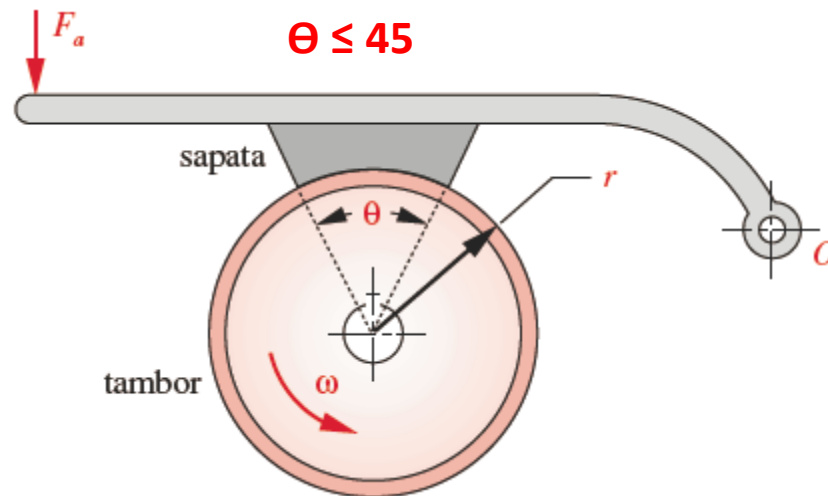
A sapata é forçada contra o tambor para criar um torque de atrito.



# FREIOS TIPO TAMBOR

## FREIOS DE TAMBOR

Se a sapata contata apenas uma pequena porção angular do tambor, o arranjo é conhecido como um freio de sapata curto. Caso contrário, é um freio de sapata longo.



A geometria de contato no caso curto versus longo requer que um tratamento analítico diferente seja aplicado a cada caso.

# FREIOS TIPO TAMBOR

## DIMENSIONAMENTO SAPARA CURTA

# FREIOS TIPO TAMBOR

## FREIOS DE TAMBOR COM SAPATAS EXTERNAS **CURTAS**:

*Hipótese: Pressão uniforme e constante (  $\theta \leq 45^\circ$  )*

$$dF_n = p(\theta) \cdot dA$$

– Força infinitesimal

$$\int dF_n = \int p(\theta) \cdot dA$$

– Somatório das Forças infinitesimais

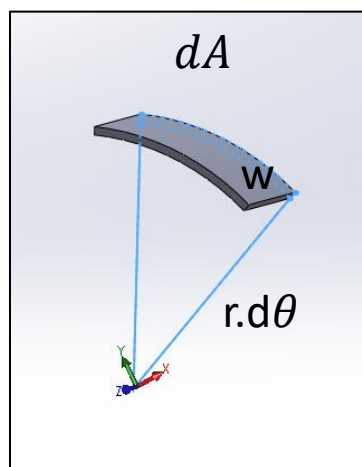
$$F_n = \int p(\theta) \cdot dA$$

– Força equivalente

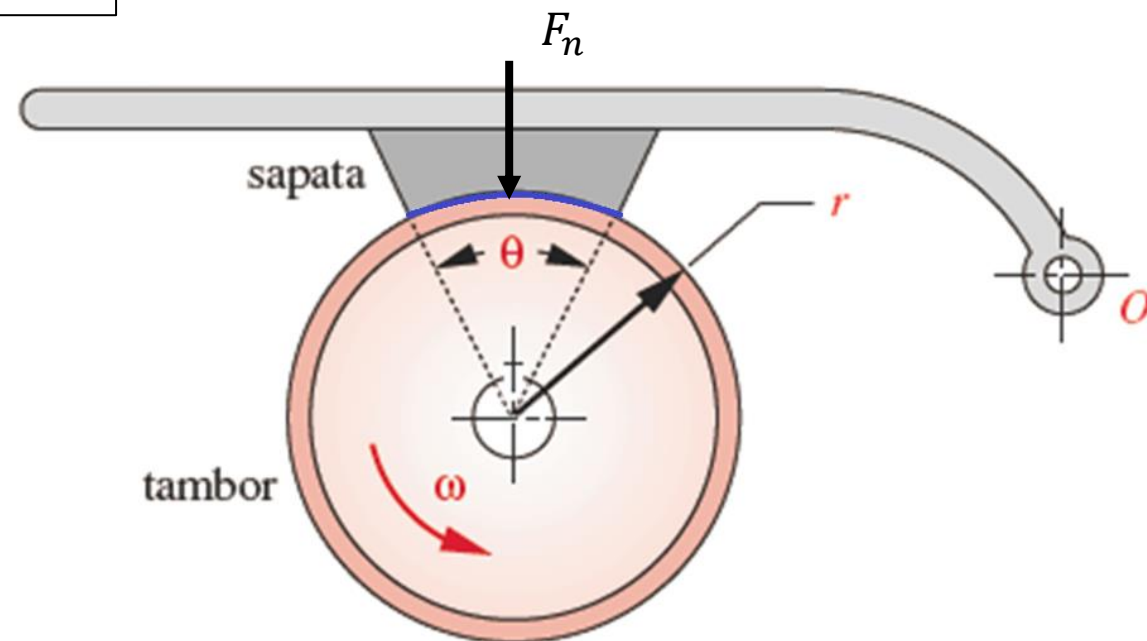
$$F_n = \int_{\theta_1}^{\theta_2} p \cdot w \cdot r \cdot d\theta$$

$$F_n = p_{\text{máx}} \cdot r \cdot \theta \cdot w \quad \text{– Força Normal}$$

$$F_f = \mu \cdot F_n \quad \text{– Força Tangencial}$$



$$dA = \int_{\theta_1}^{\theta_2} w \cdot r \cdot d\theta$$





# FREIOS TIPO TAMBOR

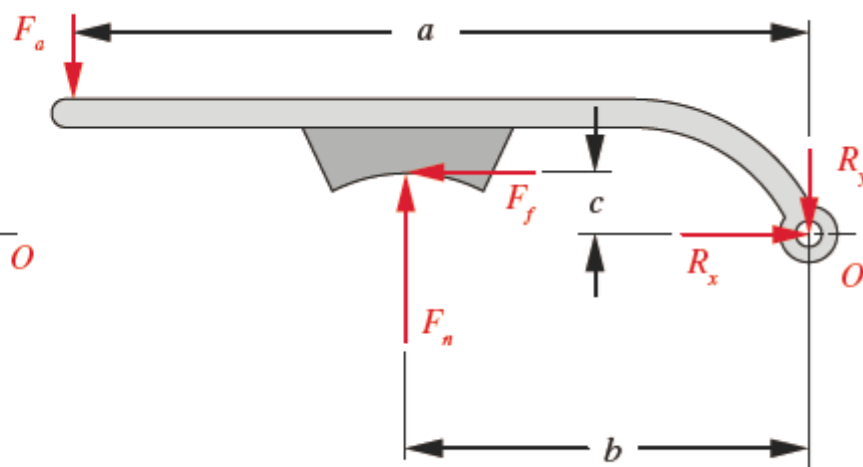
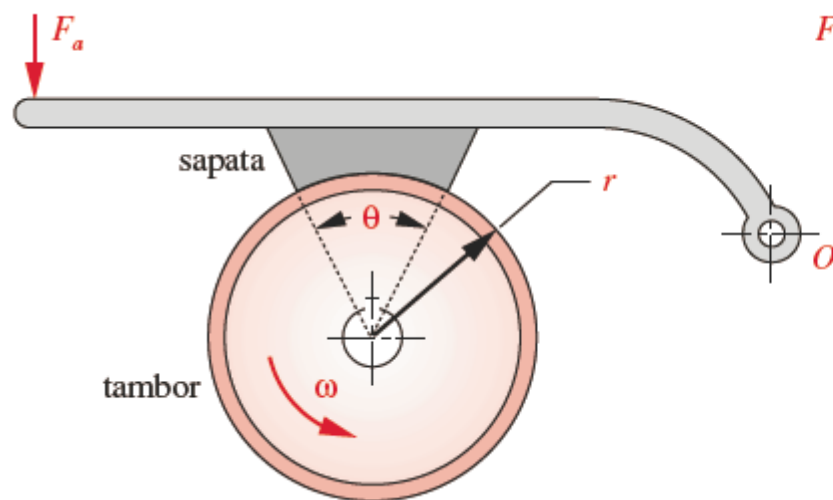
## FREIOS DE TAMBOR COM SAPATAS EXTERNAS **CURTAS**: *Hipótese: Pressão uniforme e constante ( $\theta \leq 45^\circ$ )*

Para qualquer valor de máxima pressão permissível na forração  $p_{max}$ , a força  $f_n$  pode ser estimada como:

$$F_n = p_{max} r \theta w \quad (1) \quad P_{material} = P_{máx} \cdot C.S.$$

Onde  $w$  é a largura da sapata de freio na direção  $z$  e  $\theta$ , o ângulo subtendido, em radianos. A força de atrito  $F_f$  é

$$F_f = \mu F_n \quad (2)$$



Obs:

- $F_f$  e  $F_n$  representam a ação do tambor sobre a sapata.
- Para  $\theta \leq 45^\circ$  a sapata é chamada de **CURTA**.  
 $\theta$  = ângulo de arco de contato [rad]

$F_a$  → Força de frenagem  
 $F_n$  → Força Normal  
 $F_f$  → Força de atrito ( $\mu \cdot F_n$ )  
 $\mu$  → Coeficiente de Atrito  
 $r$  → Raio do Tambor

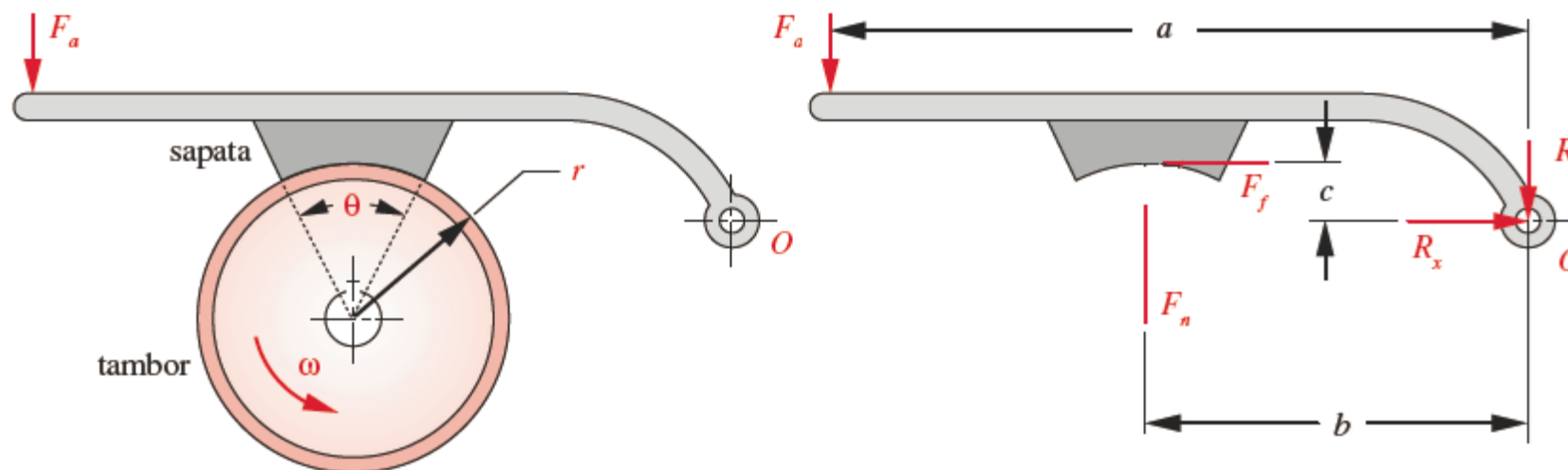
# FREIOS TIPO TAMBOR

## FREIOS DE TAMBOR COM SAPATAS EXTERNAS CURTAS:

O momento de frenagem é o momento da força de atrito em relação ao eixo de rotação do tambor, que é:

$$M = F_f \cdot r = \mu \cdot F_n \cdot r \quad (3)$$

Para ter a força de frenagem que deve ser aplicada em função da força normal, faz-se:



Anti - Horário  $\sum M_o = 0 \therefore F_a \cdot a - F_n \cdot b + F_f \cdot c = 0$

$$F_a = F_n \cdot \frac{b - c \cdot \mu}{a} \quad (4) \quad \text{autoenergizante}$$

Horário  $\sum M_o = 0 \therefore F_a \cdot a - F_n \cdot b - F_f \cdot c = 0$

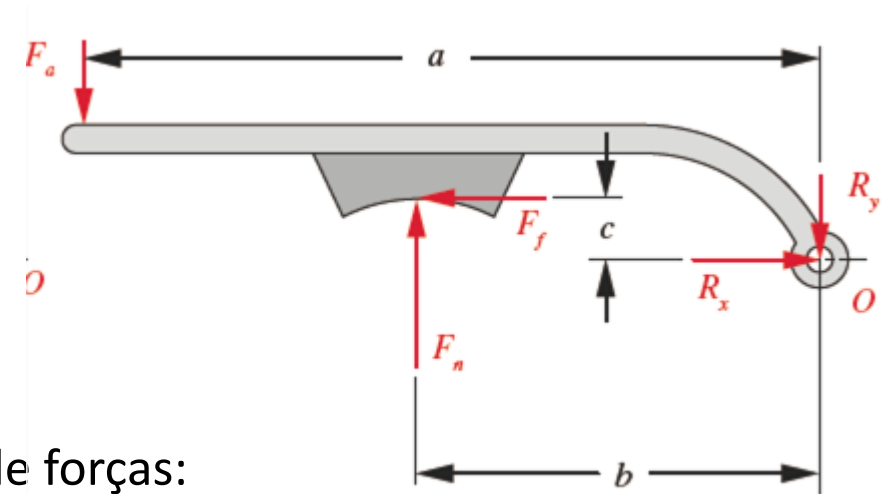
$$F_a = F_n \cdot \frac{b + c \cdot \mu}{a} \quad (5) \quad \text{autodesenergizante}$$

# FREIOS TIPO TAMBOR

## FREIOS DE TAMBOR COM SAPATAS EXTERNAS CURTAS:

Para ter a força de frenagem em função do momento de frenagem, basta por a  $F_n$  em evidência e substituir **3** em **4** ou em **5**

$$F_a = \frac{M}{\mu r} \cdot \frac{b \pm c \cdot \mu}{a}$$



As forças de reação no pivô são determinadas a partir do somatório de forças:

$$\sum F_x = 0$$

$$R_x + F_f = 0$$
$$R_x = -F_f$$

$$\sum F_y = 0$$

$$R_y - F_a + F_n = 0$$
$$R_y = F_a - F_n$$

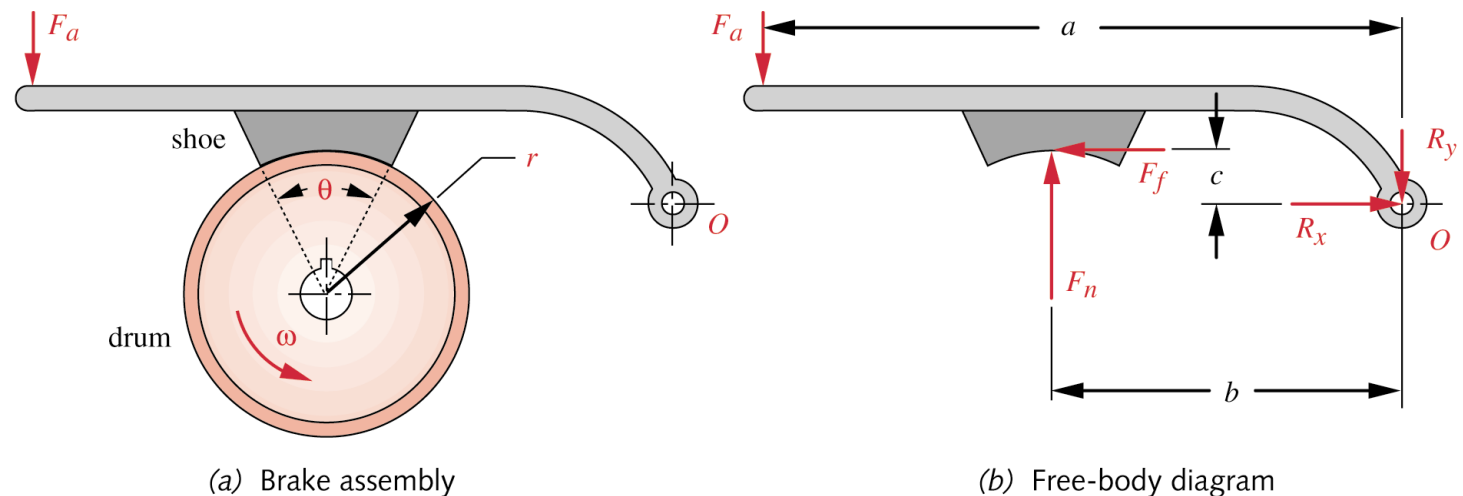
# EXERCÍCIO 3

## FREIOS DE TAMBOR COM SAPATAS EXTERNAS CURTAS:

EXERCÍCIO: para o arranjo de freio de tambor mostrado na figura, determine a razão  $c / r$  que irá produzir uma relação de auto-energização  $F_n / F_a$  de 2. Encontre também a razão  $c / r$  que irá causar o autotravamento.

Dados: as dimensões são  $a = b = 6$ ,  $r = 5$ .

Coeficiente de atrito para forração moldada a seco



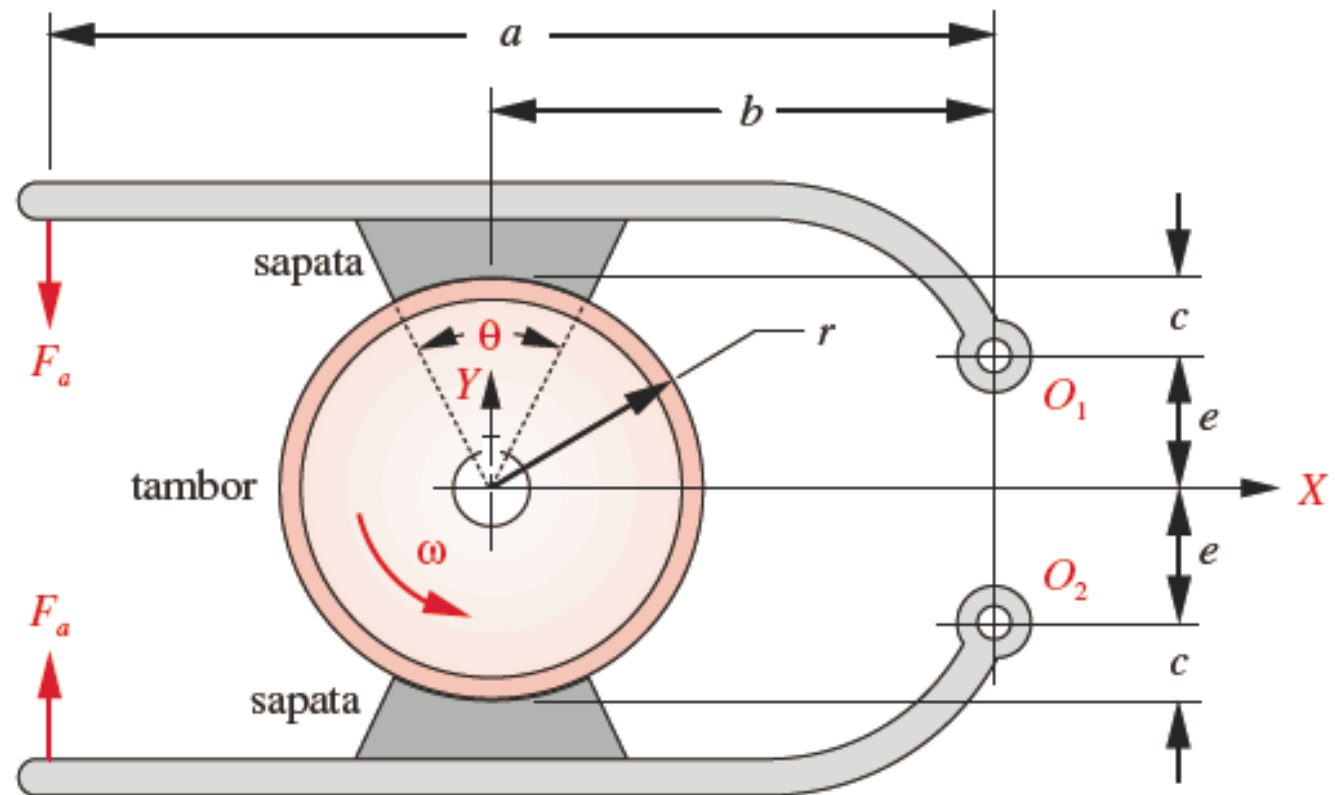
# FREIOS TIPO TAMBOR

## FREIOS DE TAMBOR COM DUAS SAPATAS EXTERNAS CURTAS:

No freio com uma sapata é aplicada ao tambor e ao eixo uma força radial  $F_n$  que pode provocar:

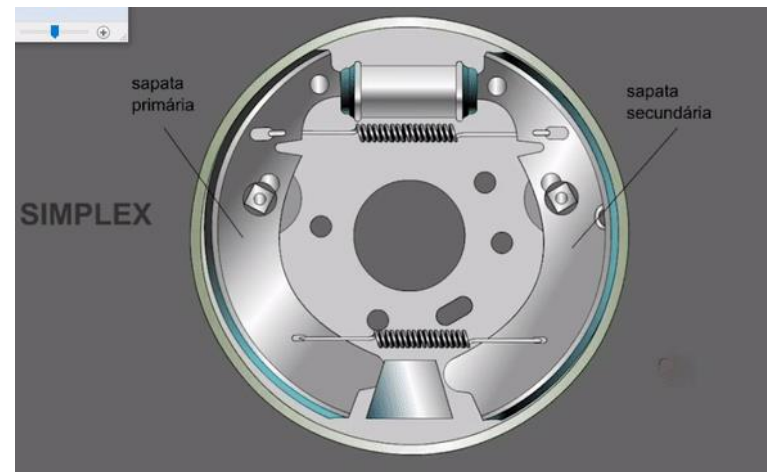
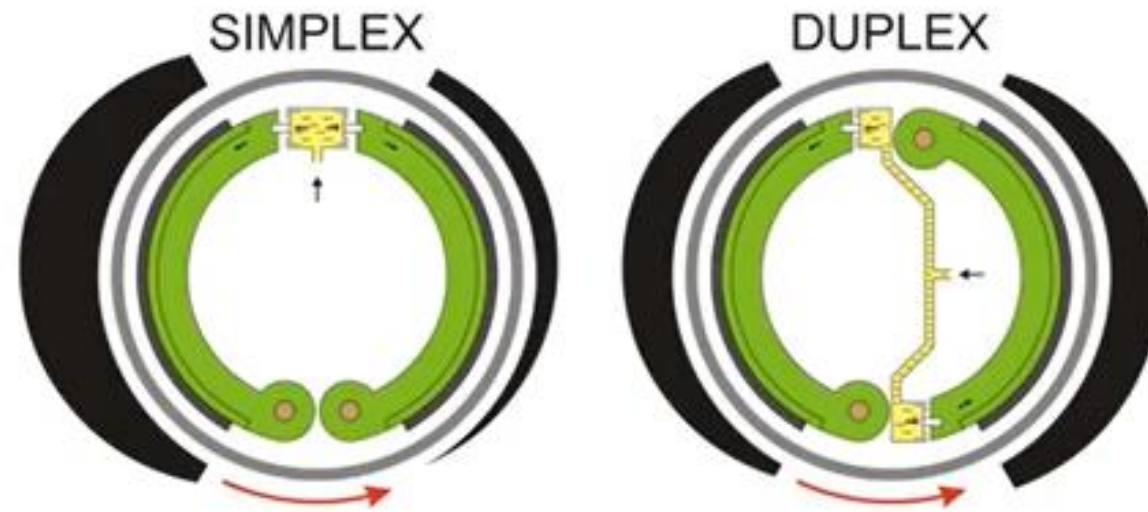
- ✓ Tensões elevadas sobre o eixo (Aumento  $\delta$ )
- ✓ Tensões elevadas nos mancais (Aumento de custo)

Desta forma, muitas vezes se aplica o freio com duas sapatas para evitar estes inconvenientes.



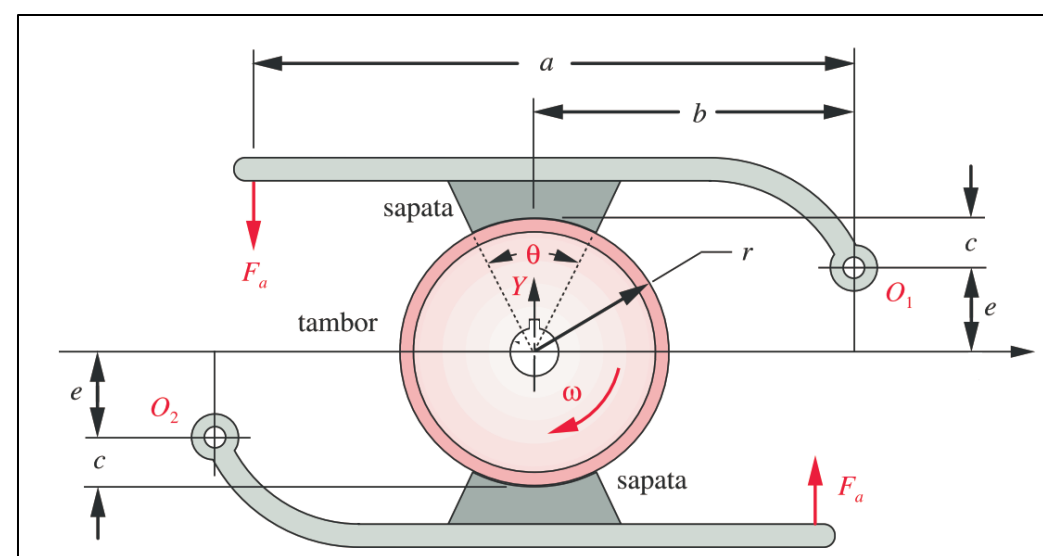
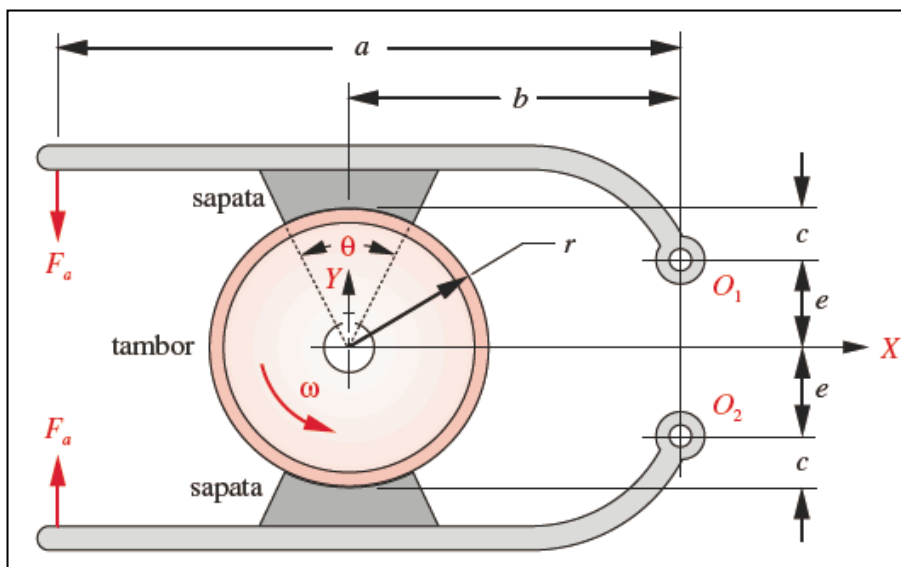


# APLICAÇÕES REAIS – SAPATAS INTERNAS



Qual o posicionamento da força de atuação em relação ao sentido de rotação?

# APLICAÇÕES REAIS – SAPATAS INTERNAS



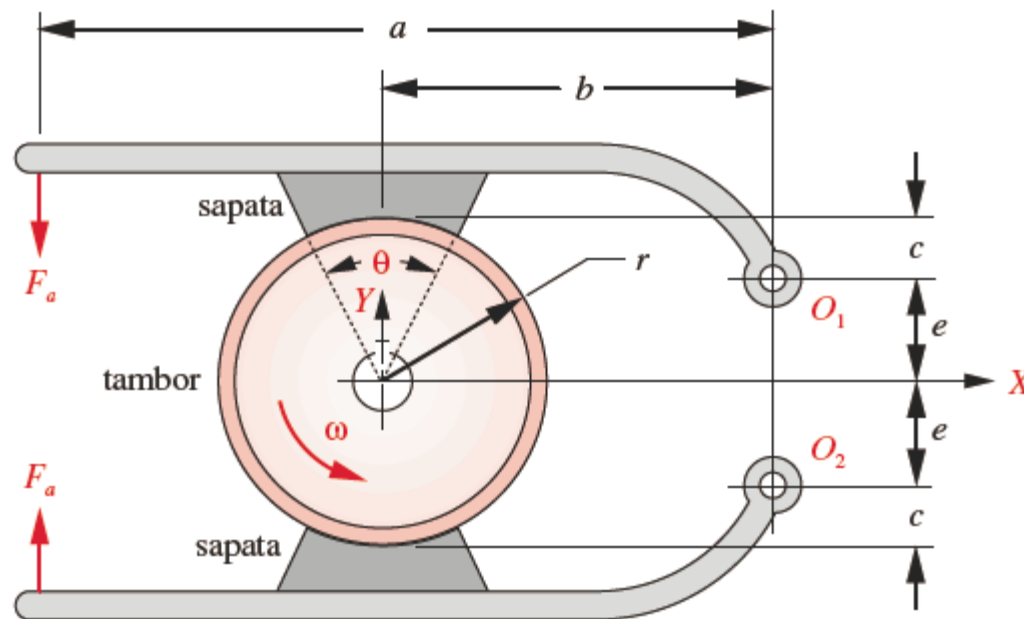


# EXERCÍCIO 4

## FREIOS DE TAMBOR COM DUAS SAPATAS EXTERNAS CURTAS:

EXERCÍCIO: Encontre a capacidade de torque e a força atuante requerida do freio de tambor com duas sapatas curtas mostrados abaixo. Considere  $a = 375$ ,  $b = 200$ ,  $e = 75$ ,  $r = 120$  mm e  $\theta = 25^\circ$ . Que valor de  $c$  o tornará autotravante? Pressuponha  $p_{max} = p_{sapata superior} = 10$  MPa,  $w = 50$  mm e  $\mu = 0,28$ .

Dica: Calcule o efeito de cada uma das sapatas separadamente e depois suporponha-os.



# FREIOS E EMBREAGENS A DISCO

## Formulário:

### Sapata Curta

$$p = cte$$

$$F_n = p_{m\acute{a}x} \cdot r \cdot \theta \cdot w$$

$$F_f = \mu \cdot F_n$$

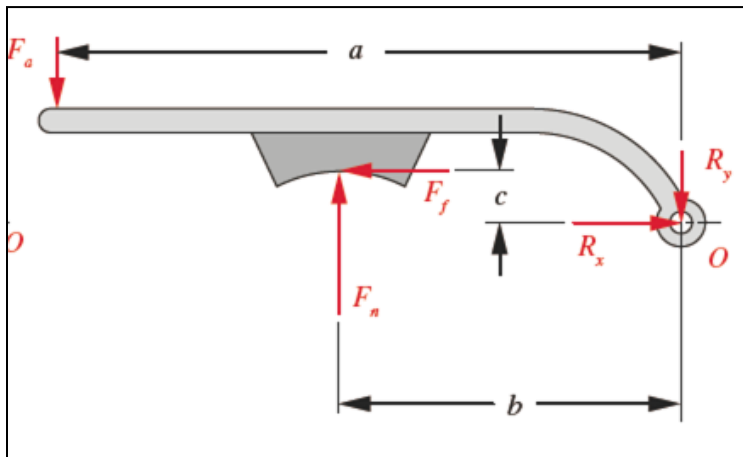
$$M = \mu \cdot F_n \cdot r$$

$$F_a = F_n \frac{b \pm c\mu}{a}$$

$$F_a = \frac{M}{\mu R} \frac{b \pm c\mu}{a}$$

(Menor solicitação de frenagem = autoenergizante)

- Pressão
- Força Normal (Radial)
- Força Tangencial
- Torque
- Força de frenagem
- Força de frenagem



### Sapata Curta (Simplex)

$$F_{1,a} = F_{2,a} = F_a$$

$$M = M_1 + M_2$$

$$M_1 = F_{1,a} \mu R \frac{a}{b \pm c\mu}$$

$$M_2 = F_{2,a} \mu R \frac{a}{b \pm c\mu}$$

$$\sum F = 0$$

$$\sum M = 0$$

